



HYBRID NANOSTRUCTURES
FOR BIOMEDICINE
ITMO UNIVERSITY



іТМО

Микро- и наноструктурированные люминофоры для биологии и медицины

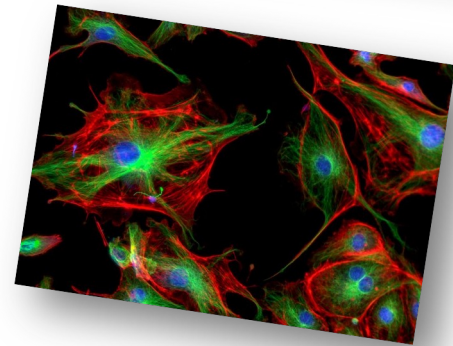
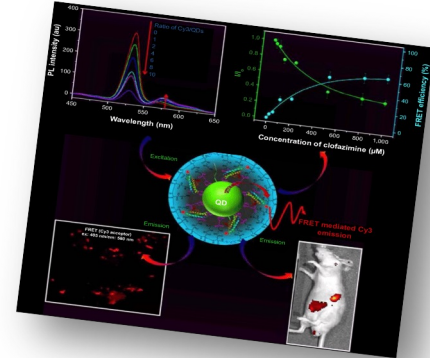
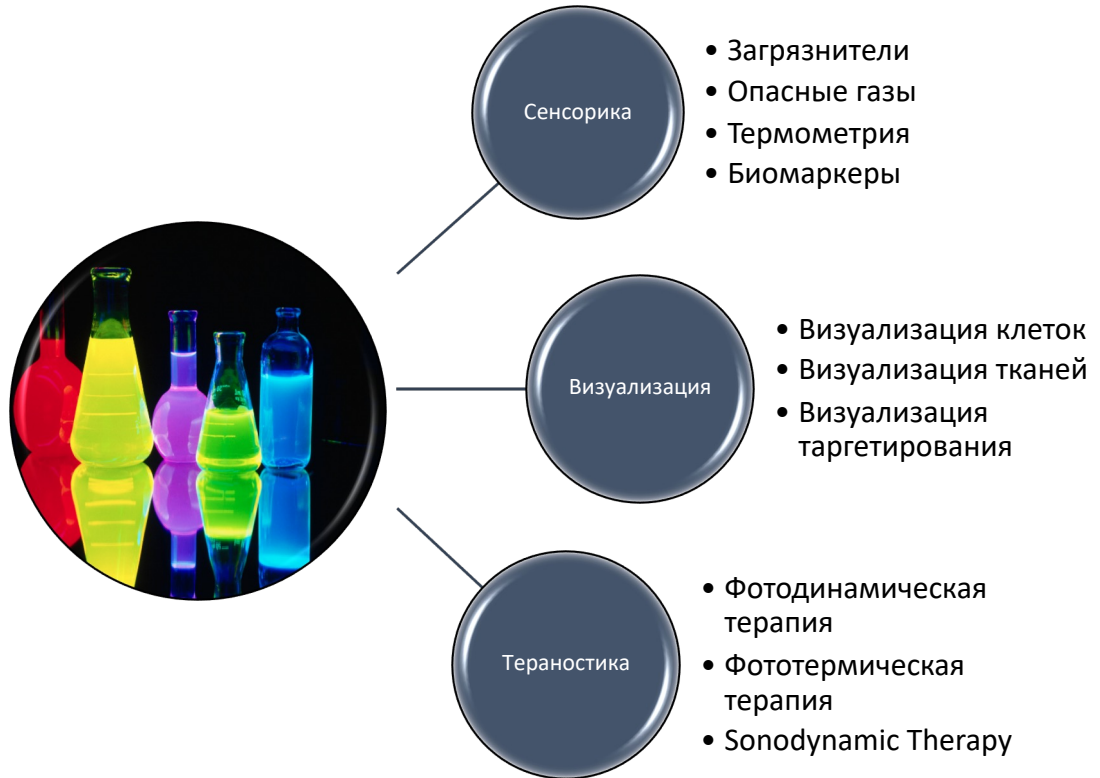
д.ф.-м.н. Анна Олеговна Орлова,
вед. проф. НОЦ ФН ИТМО,
рук. лаборатории «Гибридные наноструктуры для биомедицины»
Университет ИТМО

16 октября 2023
Санкт-Петербург

Содержание

ітмо

- Как мы можем использовать люминесцирующие НЧ в биомедицинских приложениях.
- Люминесцирующие НЧ и молекулы: насколько отличается их люминесценция?
- Полупроводниковые нанокристаллы: влияние формы, химического состава, архитектуры на их оптические и фотофизические свойства.
- Сенсорика на основе наночастиц: люминесцентные и фотоэлектрохимические сенсоры на основе квантовых нанокристаллов
- Сенсибилизаторы активных форм кислорода (АФК) на основе квантовых нанокристаллов: особенности генерации АФК и как мы их можем применить
- Заключение

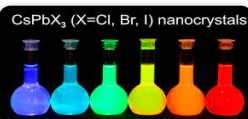




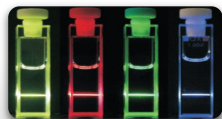
Полупроводниковые нанокристаллы.
Квантовые точки, Стержни, Нанопластины,
Тетраподы



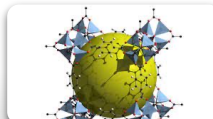
Люминесцирующийnanoуглерод.
Наноалмазы, Графеновые квантовые точки,
Углеродные точки



Перовскиты

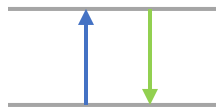


Наночастицы, допированные ионами РЗЭ

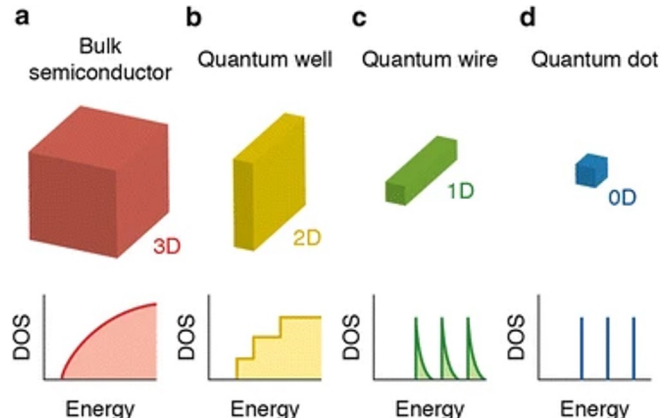
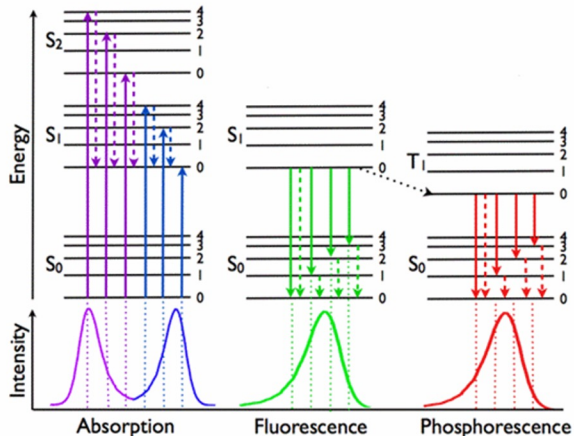


Металлоорганические каркасы

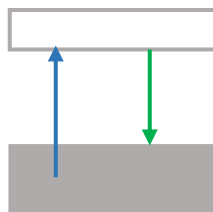
Атомы



Молекулы

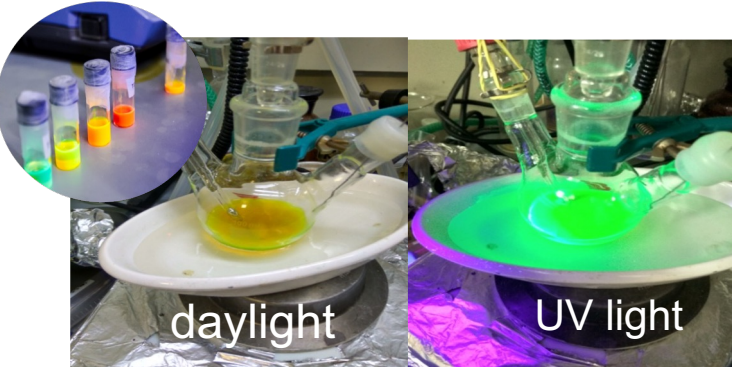


Объемные полупроводники

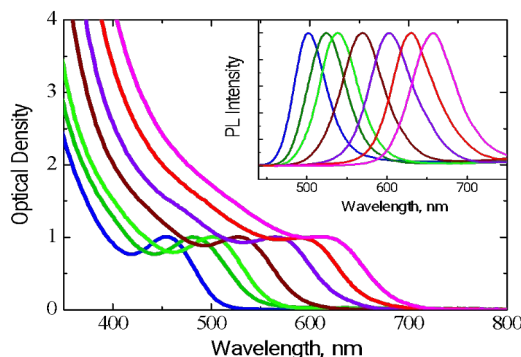


Excited-State Dynamics in Colloidal Semiconductor Nanocrystals DOI: 10.1007/s41061-016-0060-0

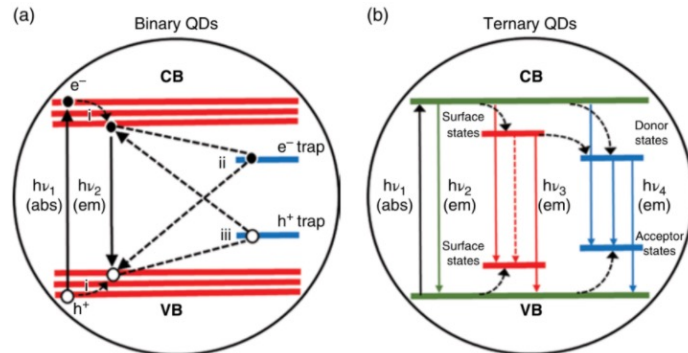
Полупроводниковые квантовые нанокристаллы. Фотофизические свойства.



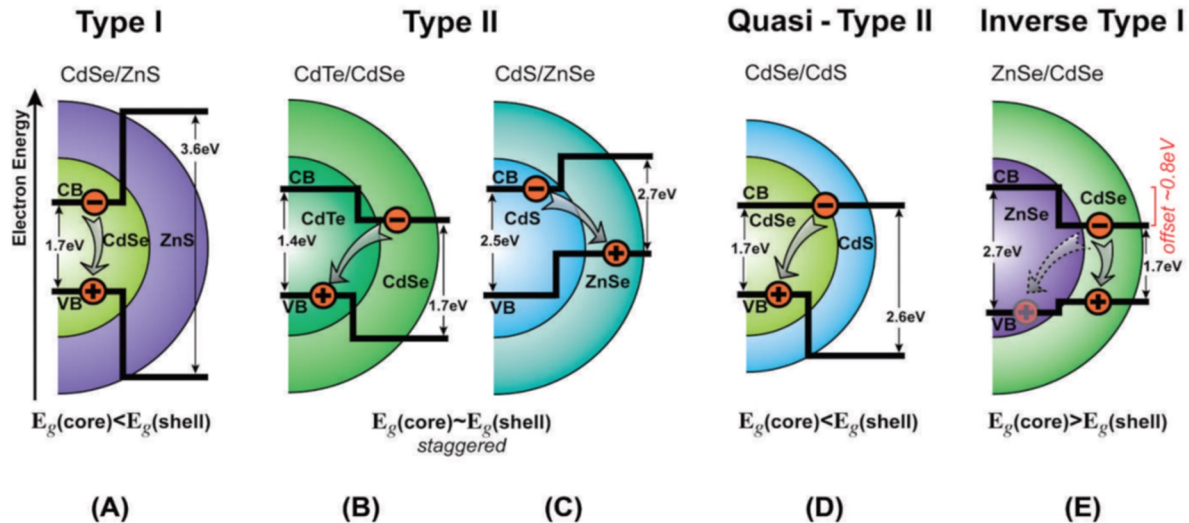
Absorption and PL spectra of InP QDs (2-6 nm)



- Видимый спектральный диапазон: CdTe, CdSe, CdS, InP, ZnSe, CIS, AIS, ZnS:Mn КТ
- Оптические свойства определяются химическим составом, размером, архитектурой
- Протяженный спектр поглощения
- Высокий квантовый выход люминесценции (до 95%)
- высокая химическая и фотостабильность
- поверхность КТ легко модифицируется



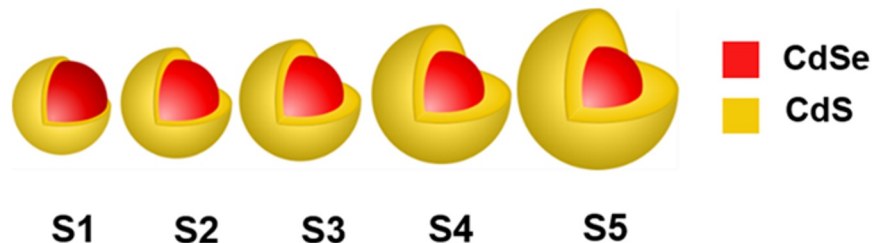
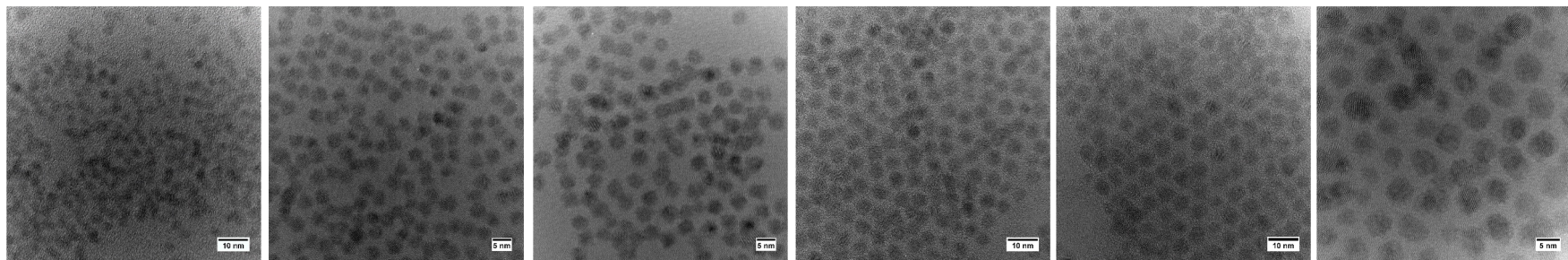
Santos J. et al. Handbook of Smart Materials in Analytical Chemistry. – Wiley, Chichester, UK, 2019.



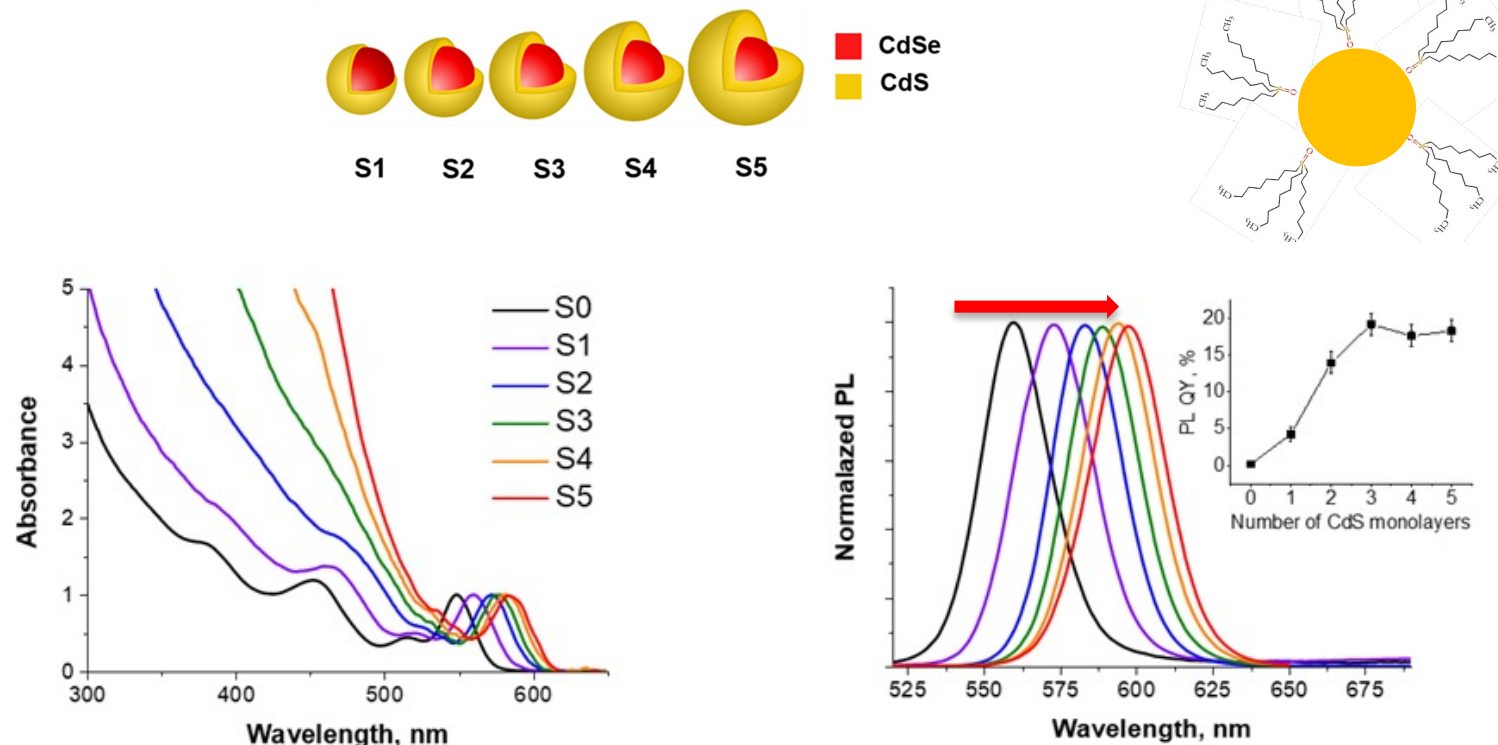
(A) Type I: both carriers in the core. (B) Type II: electron in the shell. (C) Type II: hole in the shell. (D) Quasi-Type II: electron both in the core and in the shell. (E) Inverse-Type I: both carriers in the shell

Квази-тип II КТ: зависимость люминесценции от толщины оболочки

nm	S0	S1	S2	S3	S4	S5
Diameter	2.8±0.4	3.7±0.4	4.1±0.4	4.5±0.5	4.9±0.6	5.2±0.8
Shell thickness	0	0.45	0.65	0.85	1.05	1.2

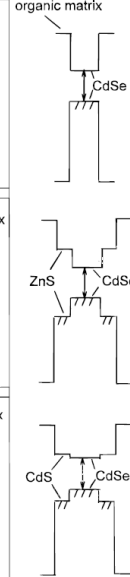
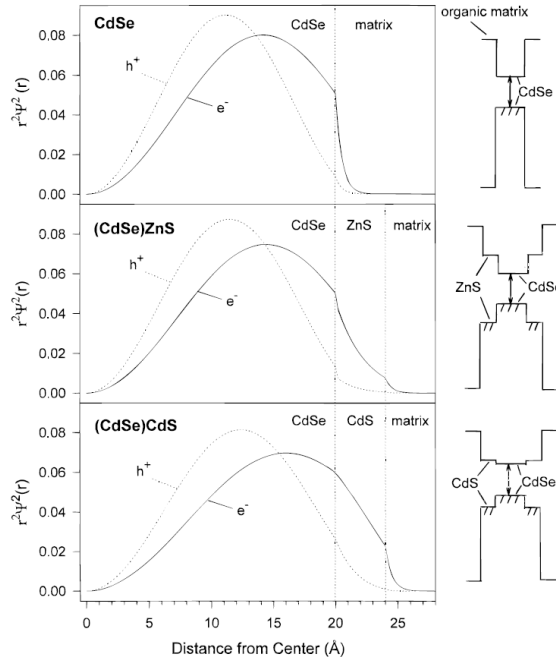


Квази-тип II КТ: зависимость люминесценции от толщины оболочки



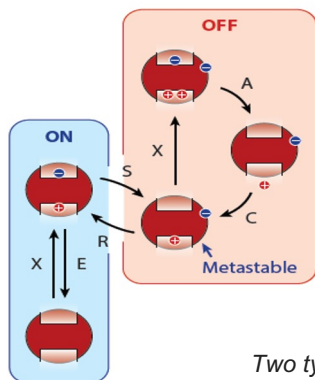
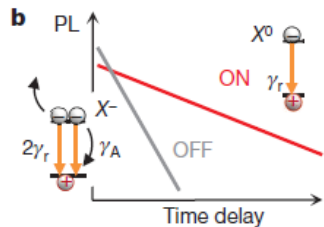
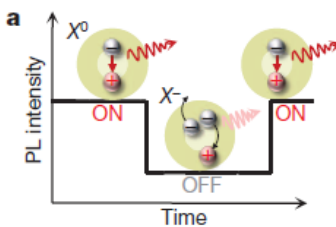
Impact of Shell Thickness on Photoluminescence and Optical Activity in Chiral CdSe/CdS Core/Shell Quantum Dots
DOI: 10.1021/acsnano.7b04199

Влияние материала и толщины оболочки на оптические свойства полупроводниковых квантовых точек типа ядро/оболочка (core-shell)



Радиальная часть функций распределения для волновых функций электронов и дырок в CdSe КТ (а) диаметром 2 нм, CdSe/ZnS КТ(б) и CdSe/CdS (в), толщина оболочки 0,4 нм

CdTe, CdSe, CdS, CdSe/ZnS, CdSe/Cds, ZnSe/ZnS, InP/ZnS

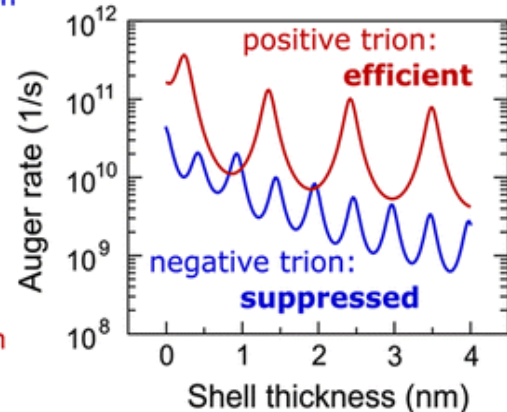
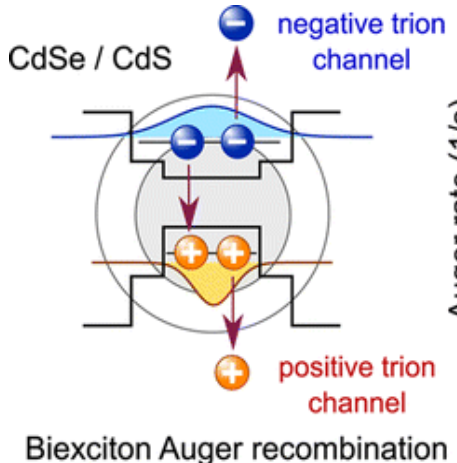
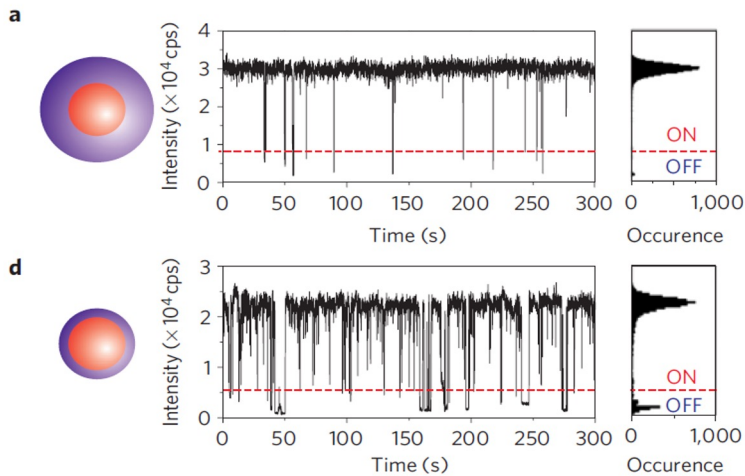


- Exhibit PL intermittency (blinking)

- Excitonic PL is characterized with multiexponential decay

- Could demonstrate delayed PL signals

Two types of luminescence blinking revealed by spectroelectrochemistry of single quantum dots.
Nature 479, 203–207 (10 November 2011) V.I. Klimov, Han Htoon et al. DOI:10.1038/nature10569
 Delayed Exciton Emission and Its Relation to Blinking in CdSe Quantum Dots.
 F.T. Rabouw et al. *Nano Letters* (2015) 15 (11), 7718–7725 DOI: 10.1021/acs.nanolett.5b03818

КТ с гигантской оболочкой

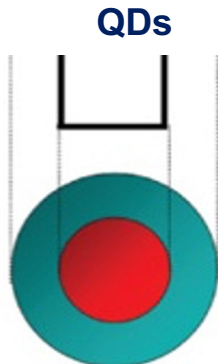
*Compact high-quality CdSe–CdS core–shell nanocrystals with narrow emission linewidths and suppressed blinking. Ou Chen et al.

Nature Materials (2013) 12, 445-451

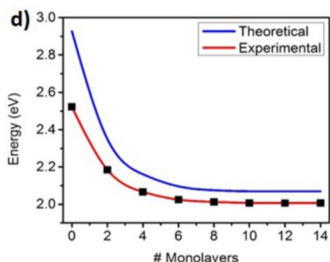
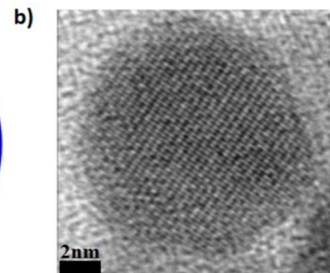
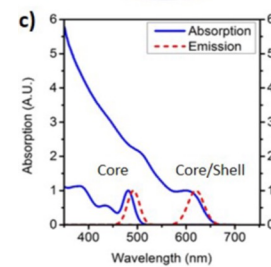
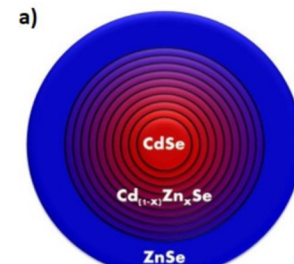
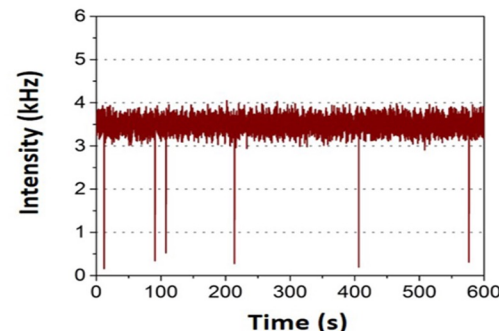
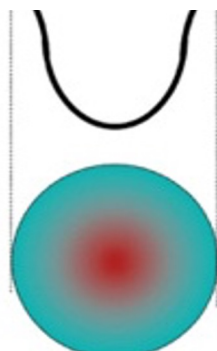
**Biexciton Auger Recombination in CdSe/CdS Core/Shell Semiconductor Nanocrystals. R. Vaxenburg, A. Rodina, E. Lifshitz, and A.L.Efros. Nano Letters (2016) 16 (4), 2503-2511

Аллоидные КТ

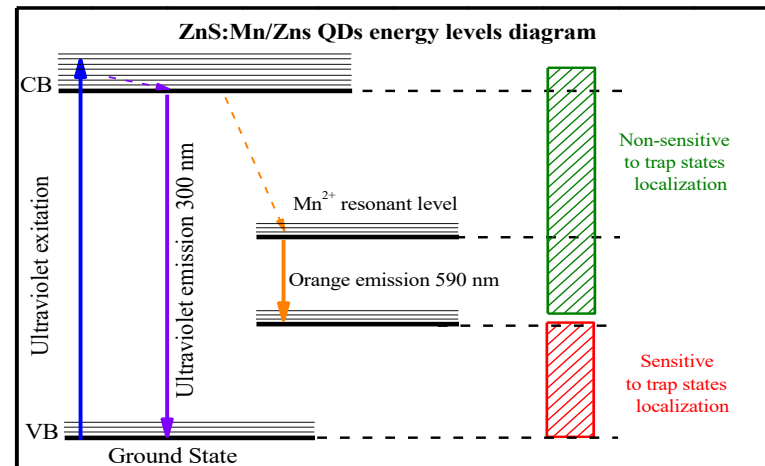
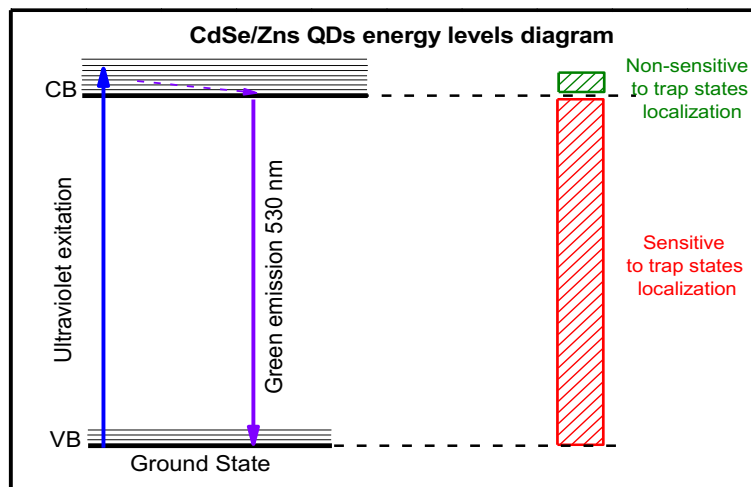
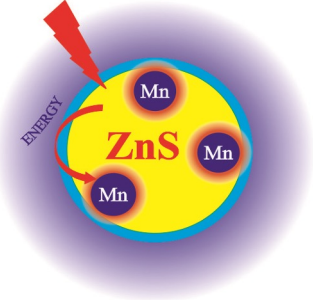
Potential energy functions of QDs

Core-shell type I
QDs

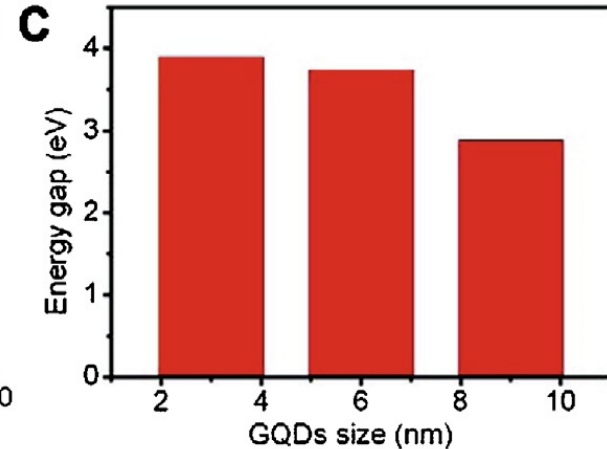
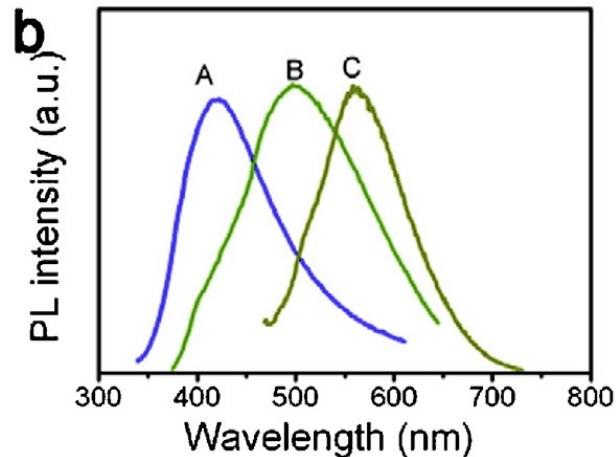
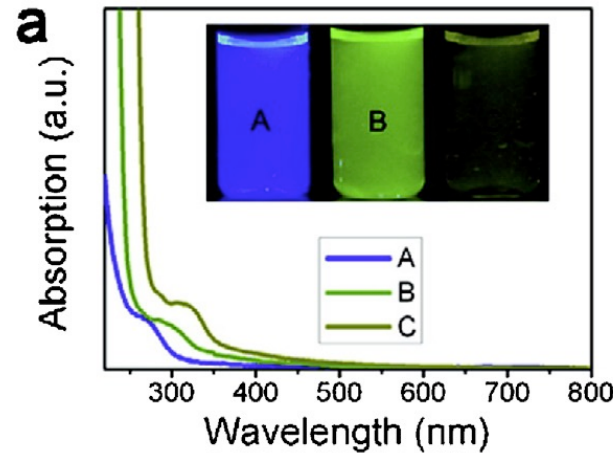
Alloyed QDs



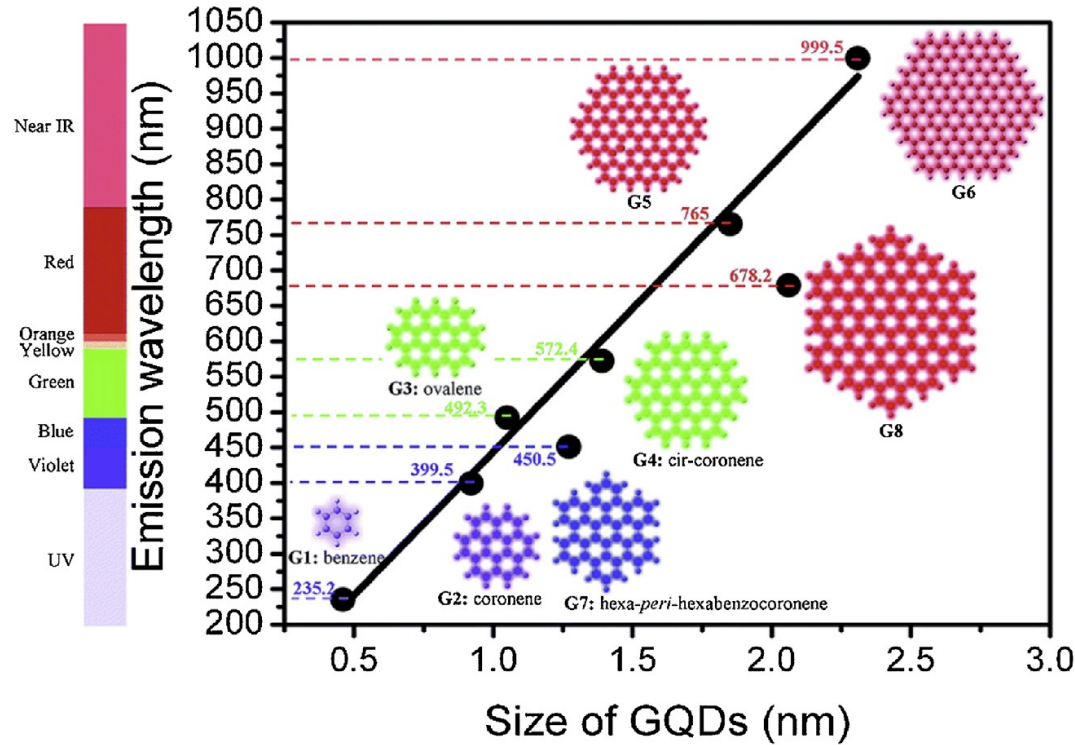
Compact and Blinking-Suppressed Quantum Dots for Single-Particle Tracking in Live Cells. DOI:10.1021/jp5064325
 L.A. Lane, A.M. Smith, Tianquan Lian, and Shuming Nie. The Journal of Physical Chemistry B (2014) 118 (49), 14140-14147



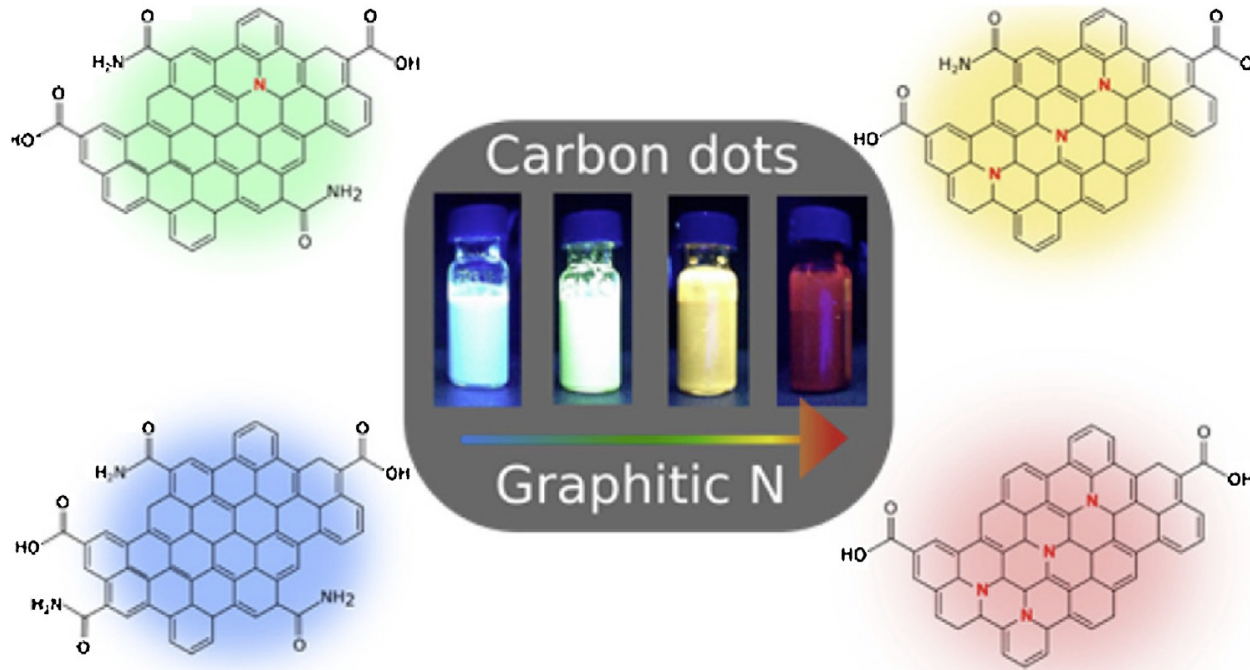
Люминесцирующий
наноструктурированный углерод.
Углеродные точки и графеновые квантовые
точки.



(a) Absorption spectra, (b) photoluminescence spectra of carbon dots A, B, and C, corresponds to synthesized reaction temperature at 120, 100 and 80°C, respectively, and (c) relationship between the energy gap and the size of GQDs

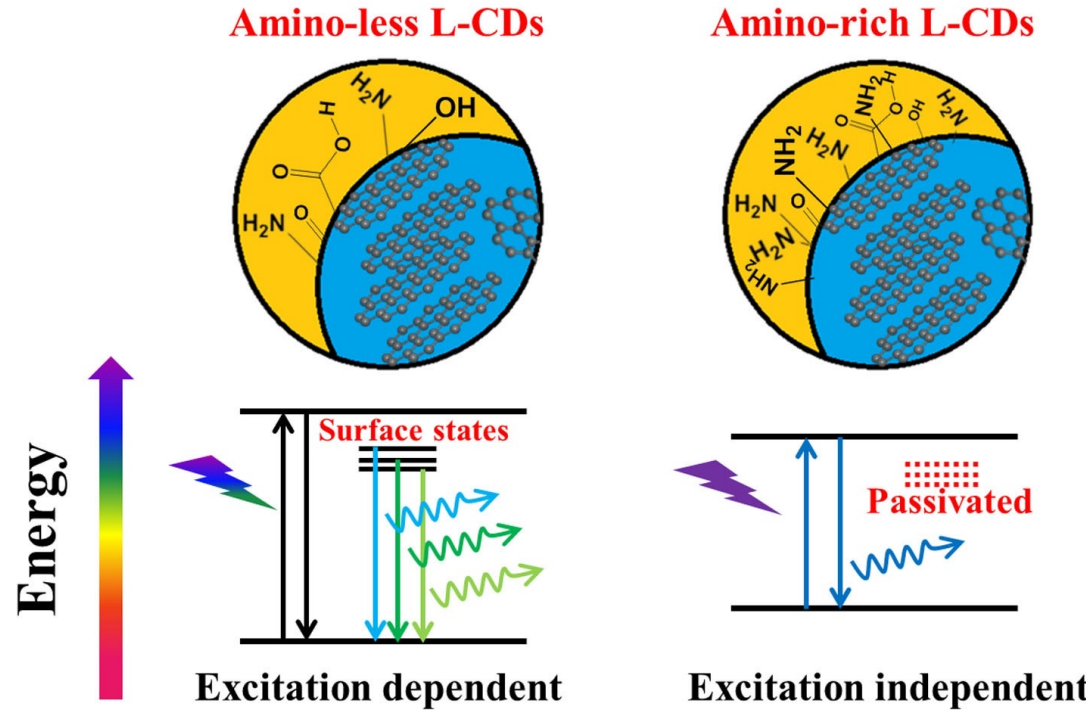


Revealing the tunable photoluminescence properties of graphene quantum dots *J. Mater. Chem. C*, 2014, 2, 6954-6960



Зависимость люминесцентных свойств углеродных точек от концентрации атомов азота

Graphitic Nitrogen Triggers Red Fluorescence in Carbon Dots ACS Nano 2017, 11, 12, 12402–12410
<https://doi.org/10.1021/acsnano.7b06399>

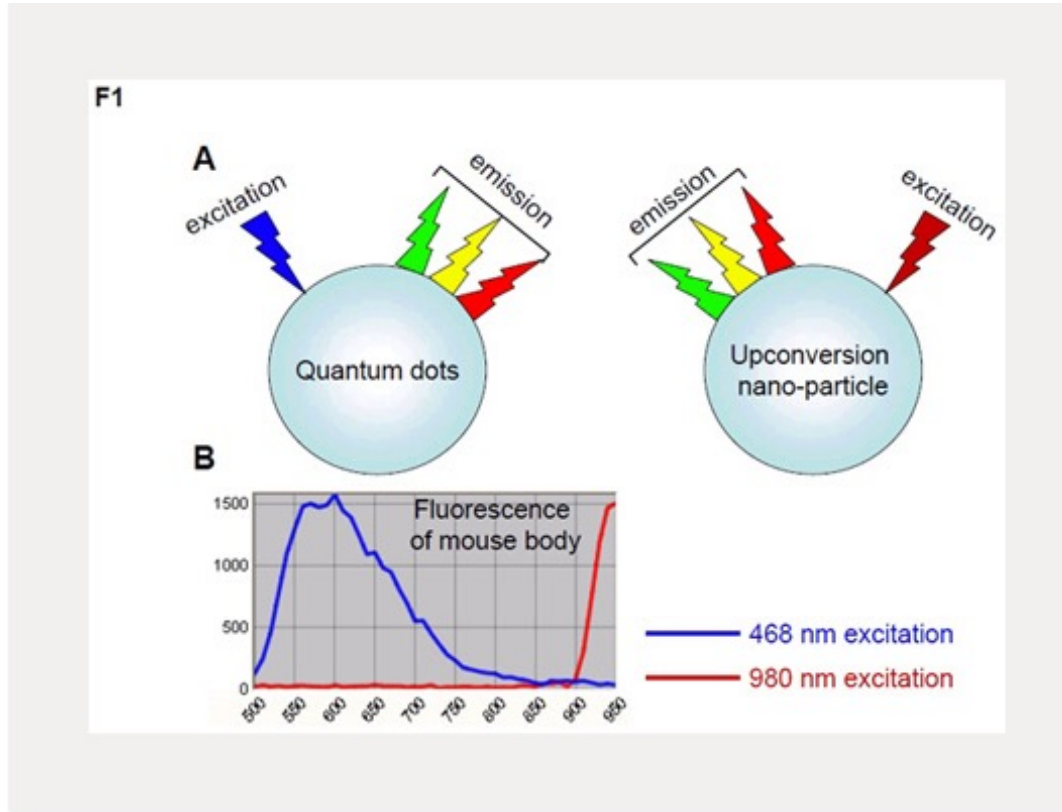


Зависимость люминесцентных свойств углеродных точек от концентрации аминогрупп

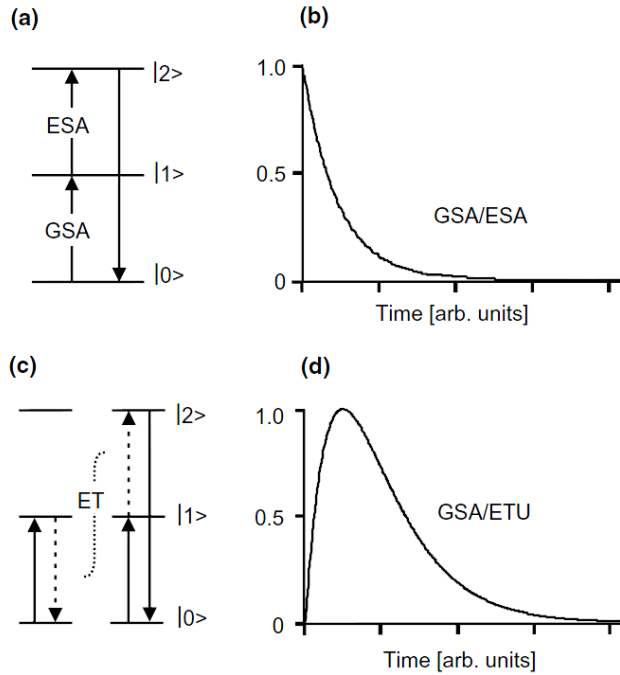
Li, X., Zhang, S., Kulinich, S. et al. Engineering surface states of carbon dots to achieve controllable luminescence for solid-luminescent composites and sensitive Be^{2+} detection. *Sci Rep* 4, 4976 (2014)



Наночастицы, допированные ионами РЗЭ



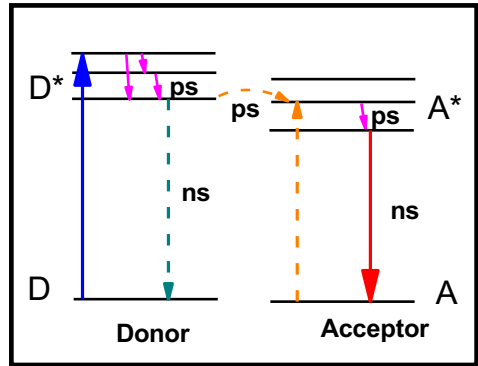
Сравнение механизма возбуждения люминесценции КТ и Апконверсионных частиц



(a), (c) – схематичное представление наиболее вероятных механизмов up-конверсии;
 (b), (d) – затухание up-конверсионной люминесценции после короткого возбуждающего импульса.
 GSA – поглощение с основного состояния;
 ESA – поглощение с возбужденного состояния;
 ET – перенос энергии

Сенсорика на основе наночастиц:
люминесцентные и
фотоэлектрохимические сенсоры на
основе квантовых нанокристаллов

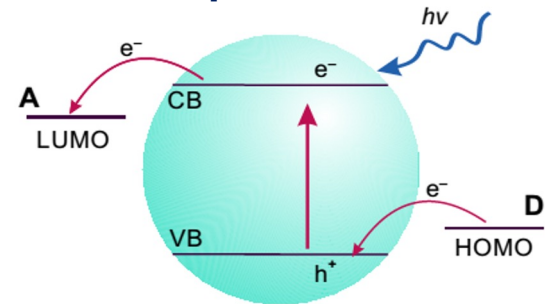
Резонансный перенос энергии FRET



Фотоиндуцированный перенос заряда

$$k_{ET}^{dd} = k_D^f \left[\frac{R_0}{r} \right]^6 = \frac{1}{\tau_{D_0}^f} \left[\frac{R_0}{r} \right]^6$$

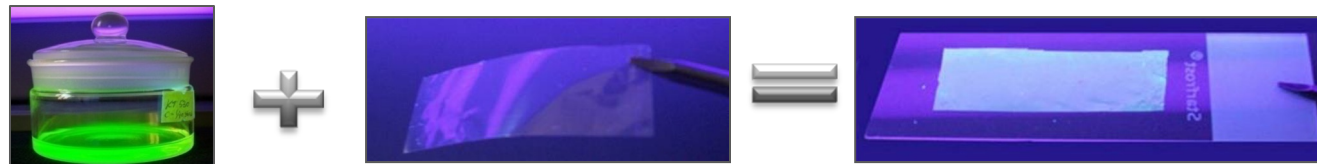
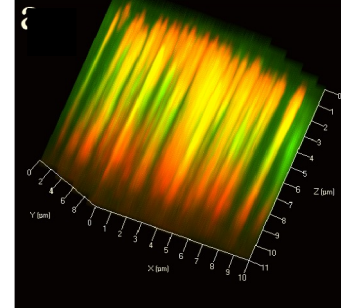
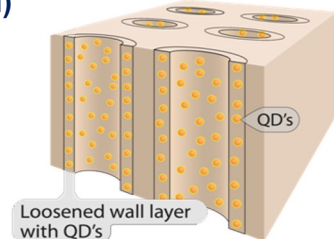
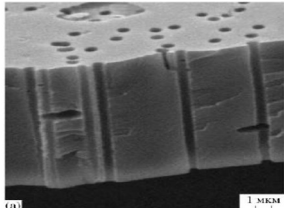
$$k_{CT}(R) = k_{CT}^0 \cdot e^{-\beta R}$$



$$\varphi_{NCs} = \frac{k_r}{(k_r + k_{nr} + k_{FRET or CT} + k_{trap-states})}$$

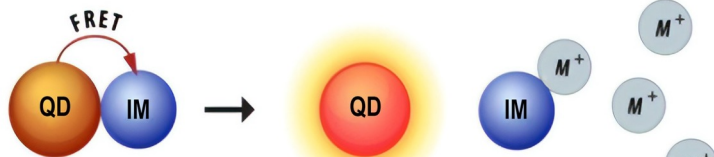
$$Q_{FRET or CT} = \frac{n \cdot k_{FRET or CT}}{(k_r + k_{nr} + n \cdot k_{FRET or CT})}$$

SEM and a sketch of Poly(ethylene terephthalate) track pore membranes (PET TM)



CdSe/ZnS QDs

PET TM

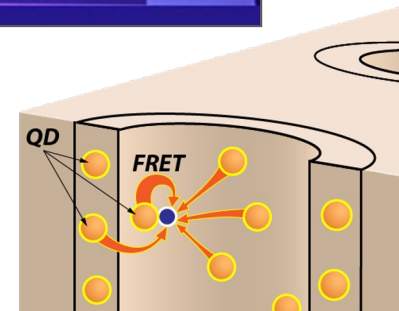


Fluorescence energy transfer in quantum dot/azo dye complexes in polymer track membranes

DOI: 10.1186/1556-276X-8-452

Dissociative CdSe/ZnS quantum dot-molecule complex for luminescent sensing of metal ions in aqueous solutions DOI: 10.1063/1.3490218

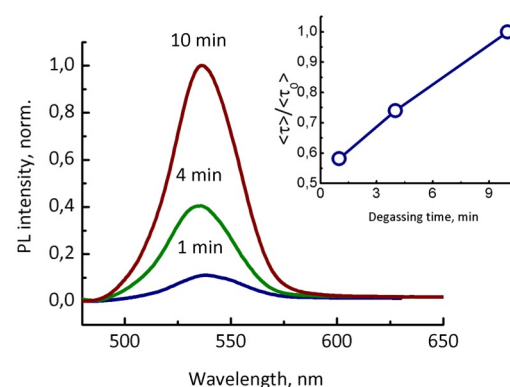
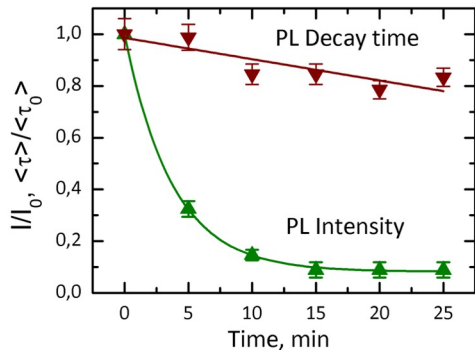
Track membranes with embedded semiconductor nanocrystals: structural and optical examinations
DOI 10.1088/0957-4484/22/45/455201



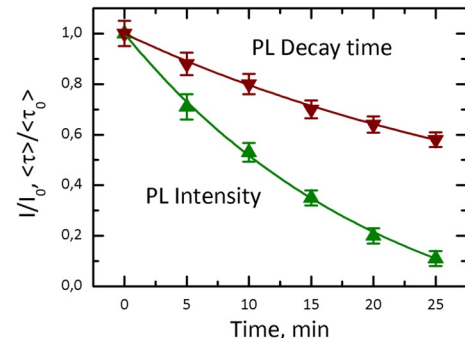
Interaction of QDs with ammonia vapor



CdSe/ZnS QDs in TM



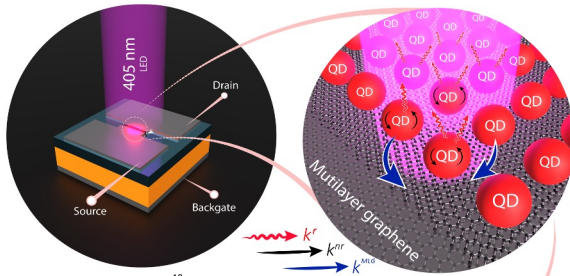
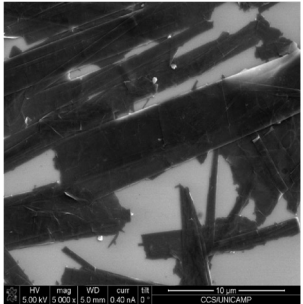
CdSe/ZnS QDs in Porous Glass



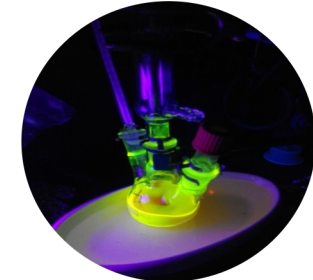
Degassing under 1 Torr

$C_{\text{ammonia}} \sim 1.7 \times 10^{-3} \text{ mol/L}$

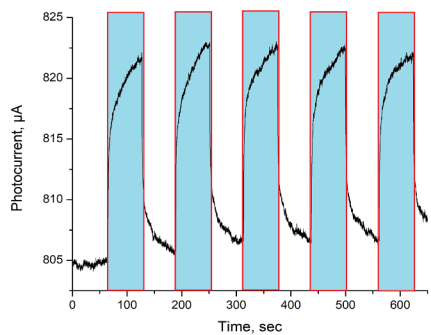
SEM of Graphene nanobelts



Colloidal QDs

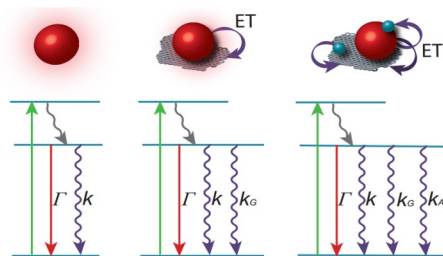


Photoresponse

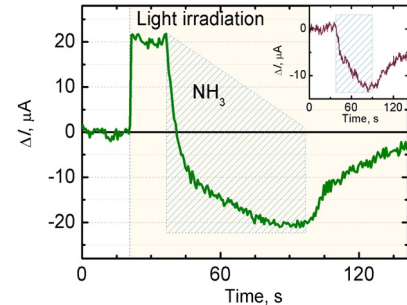


Photoinduced electrical response in quantum dots/graphene hybrid structure
DOI 10.1063/1.4929970

$$\begin{aligned}\Gamma &= 10^7 \text{ sec}^{-1} \\ k &= 6 \cdot 10^7 \text{ sec}^{-1} \\ k_A &= 10^8 \text{ sec}^{-1} \\ k_G &= 2 \cdot 10^9 \text{ sec}^{-1}\end{aligned}$$

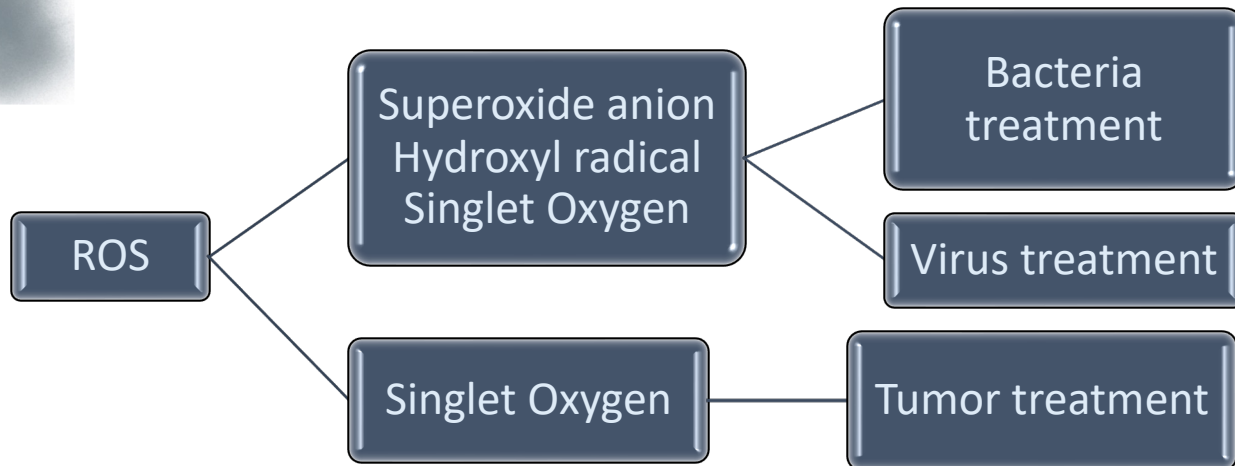


Photoresponse with analytes





Сенсибилизаторы АФК на основе КТ

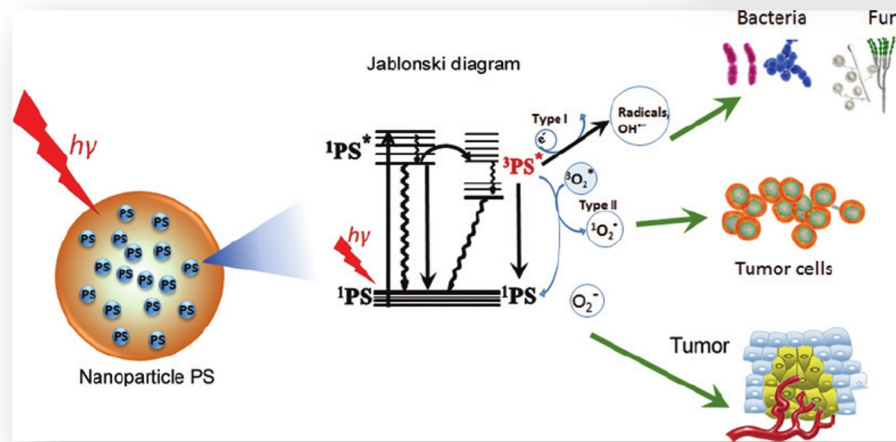
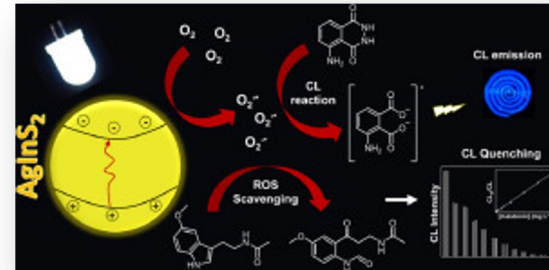


Tuning the Toxicity of Reactive Oxygen Species into Advanced Tumor Therapy

An Xie, He Li, Yumei Hao & Yujia Zhang

Nanoscale Research Letters volume 16, Article number: 142 (2021) DOI: 10.1186/s11671-021-03599-8

- Тетрапиррольные молекулы и их агрегаты
- Микро- и наноразмерные частицы оксидов металлов (ZnO , TiO_2 , и т.д.)
- AIS, ZAIS, AISZnS KT
- Гибридные структуры

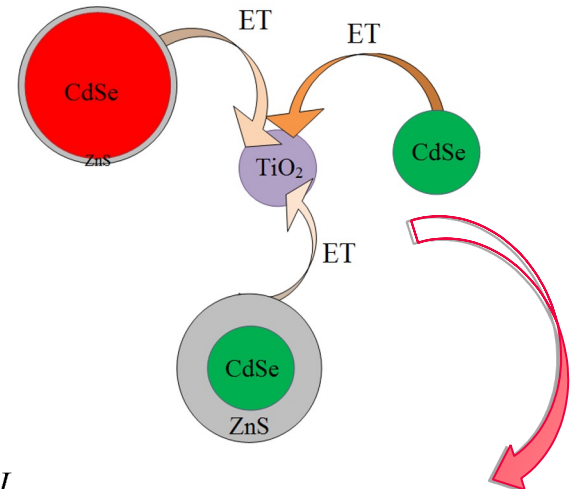
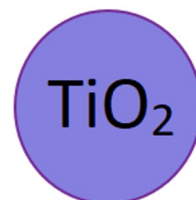
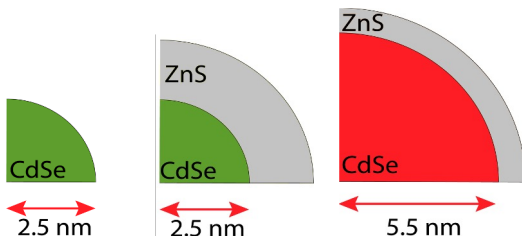


Nanotechnology for photodynamic therapy: a perspective from the Laboratory of Dr. Michael R. Hamblin in the Wellman Center for Photomedicine at Massachusetts General Hospital and Harvard Medical School DOI: 10.1515/ntrrev-2015-0027

Photocatalytic activity of $AgInS_2$ quantum dots upon visible light irradiation for melatonin determination through its reactive oxygen species scavenging effect DOI: 10.1016/j.microc.2020.104728

$$\tau_{PL}^0 = \frac{1}{k_r + k_{nr}}$$

$$\tau_{PL}^{str} = \frac{1}{k_r + k_{nr} + k_{ET}}$$



ET efficiency

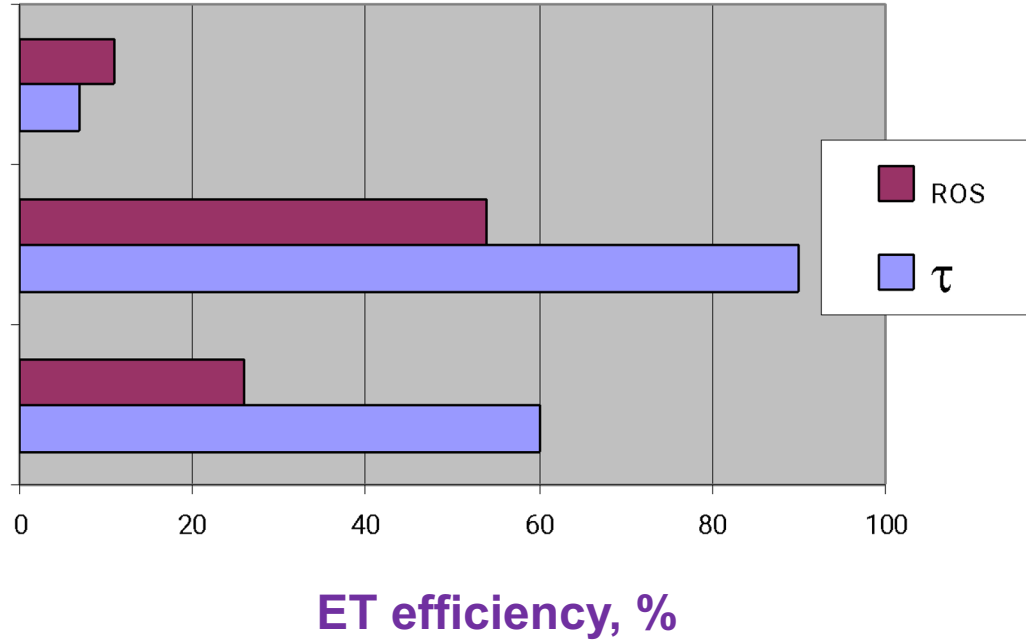
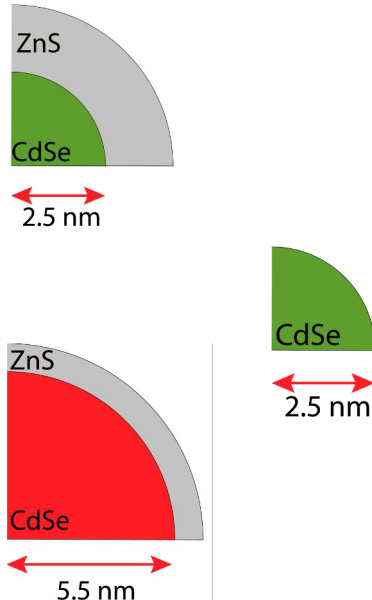
$$Q_{ET} = \frac{k_{ET}}{k_r + k_{nr} + k_{ET}} = 1 - \frac{\tau_{PL}^{sl}}{\tau_{PL}^0}$$

Bactericidal Activity of Multilayered Hybrid Structures Comprising Titania Nanoparticles and CdSe Quantum Dots under Visible Light
DOI: 10.3390/nano1123331

Photoinduced charge transfer in hybrid structures based on titanium dioxide NPs with multicomponent qd exciton luminescence decay
DOI: 10.1021/acs.jpcc.9b02481

Photoinduced electron transport in QDs-based hybrid structures with TiO₂ nanoparticles DOI: 10.1088/1742-6596/1092/1/012057

Estimation of ET efficiency by ROS generation and PL kinetics of QDs

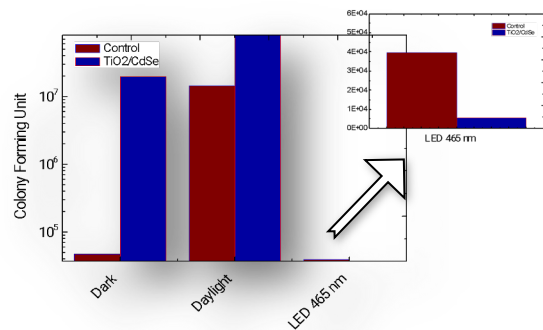
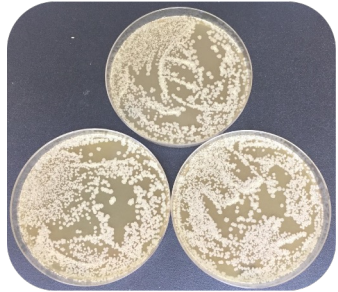


Bactericidal Activity of Multilayered Hybrid Structures Comprising Titania Nanoparticles and CdSe Quantum Dots under Visible Light DOI: 10.3390/nano11123331

Photoinduced charge transfer in hybrid structures based on titanium dioxide NPs with multicomponent qd exciton luminescence decay DOI: 10.1021/acs.jpcc.9b02481

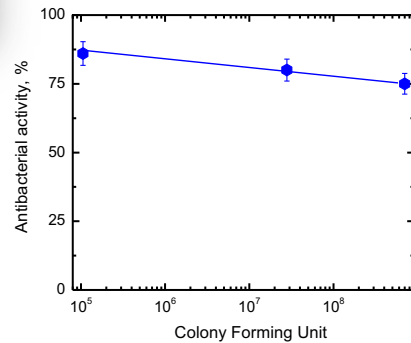
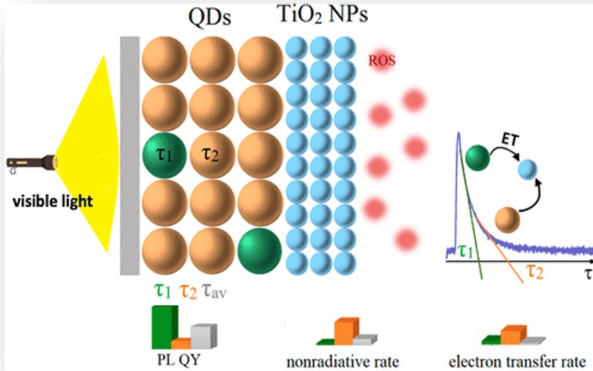
Photoinduced electron transport in QDs-based hybrid structures with TiO₂ nanoparticles DOI: 10.1088/1742-6596/1092/1/012057

Mycobacterium smegmatis as a model for *Mycobacterium Tuberculosis*



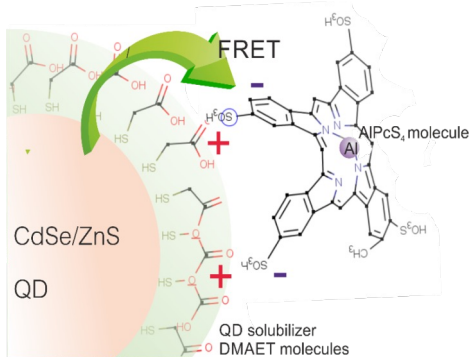
Bacteria grow efficacy

Bactericidal Activity of Multilayered Hybrid Structures Comprising Titania Nanoparticles and CdSe Quantum Dots under Visible Light DOI: 10.3390/nano11123331



Dependence of bactericidal properties of the structures on CFU

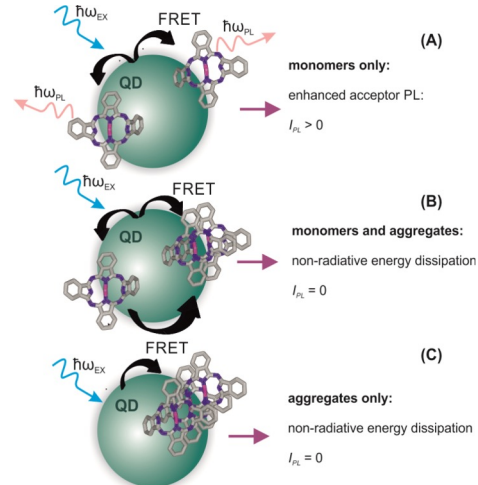
Electrostatic interaction



$$n = \frac{C_a}{C_{QDs}}$$

$$E_h(n, \alpha) \sim E_{obs} \frac{\sum_{m=1}^{\alpha} P(m)}{\sum_{m=1}^{\infty} P(m)}$$

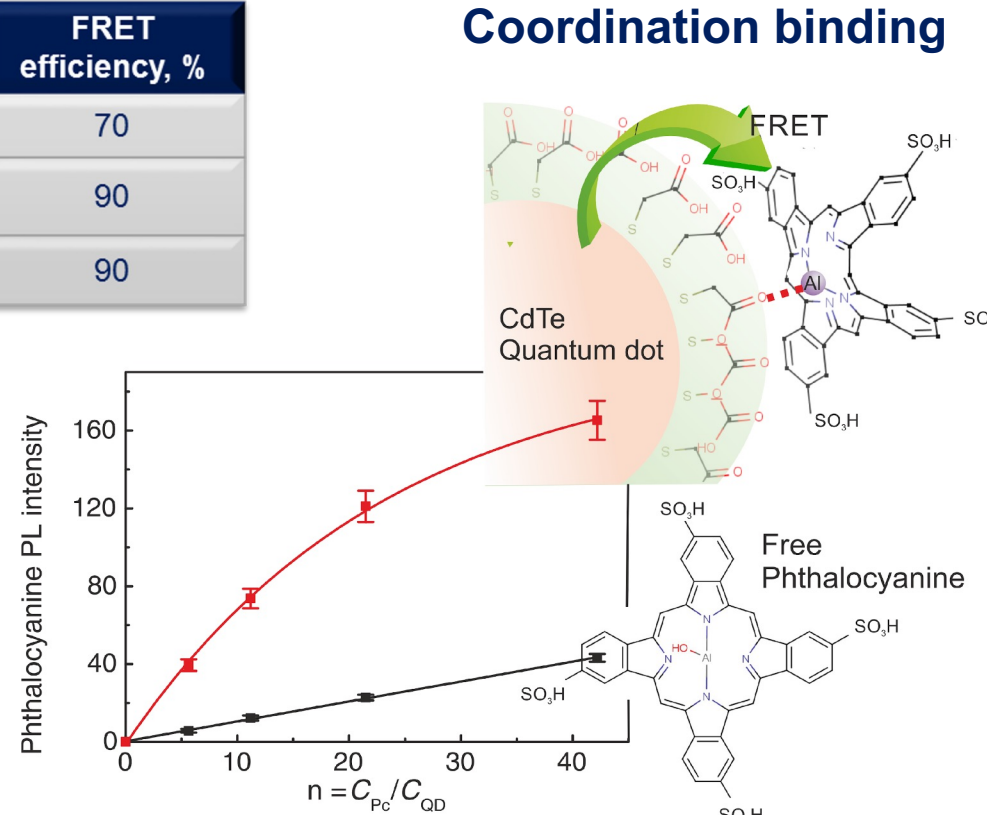
$$\varphi_{a,h}^{direct}(n, \alpha) \sim \varphi_0 \frac{\sum_{m=1}^{\alpha} P(m) \alpha}{\sum_{m=1}^{\alpha} P(m) \alpha + \frac{\varepsilon_a^A}{\varepsilon_a^M} (n - \sum_{m=1}^{\alpha} P(m) \alpha)}$$



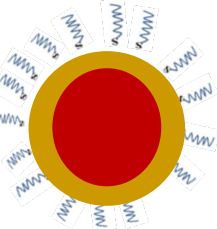
QDs	Stabilizer	FRET efficiency, E_n %	PL QY of Ps, φ_n %
ZnS:Mn/ZnS	Cysteamine	0.38÷0.2	4.5÷2.0
CdSe/ZnS	Cysteamine	0.5÷0.05	6.0÷0.01
ZnSe/ZnS	Cysteamine	0.5÷0.2	8.0÷0.01
CdSe/ZnS	Cysteine	0.5÷0.2	3.0

The influence of phthalocyanine aggregation in complexes with CdSe/ZnS quantum dots on the photophysical properties of the complexes
DOI: 10.3762/bjnano.7.94

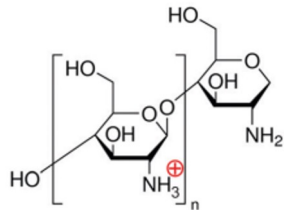
Storage conditions	Quenching of QDs PL, %	FRET efficiency, %
Ten minutes storage	24	70
A week storage at +4° C	21	90
A month storage at +4° C	21	90



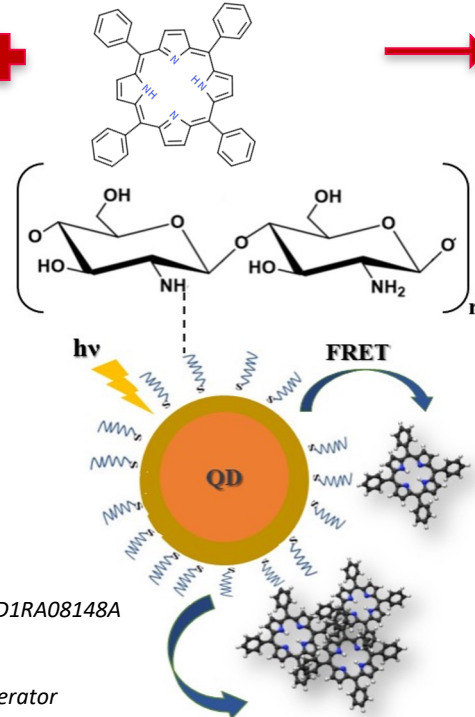
$\text{AgInS}_2/\text{ZnS}$ QDs



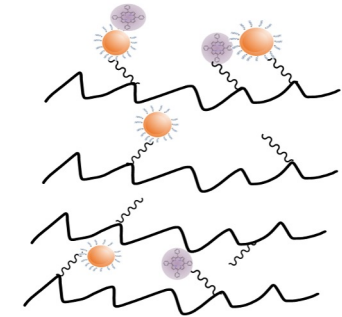
Chitosan



TPP in CCl_4



$\text{AgInS}_2/\text{ZnS}$ QDs-TPP in chitosan



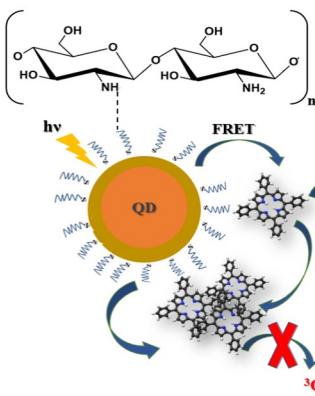
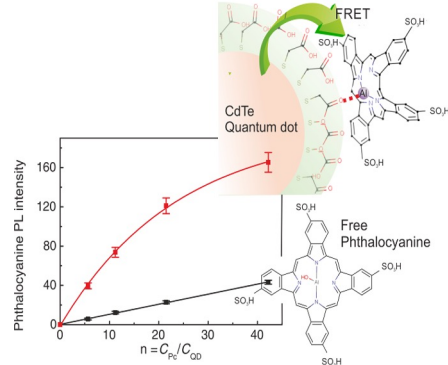
Chitosan nanocomposites with CdSe/ZnS quantum dots and porphyrin DOI: 10.1039/D1RA08148A

Singlet oxygen generation by hybrid structures based on CdSe/ZnS quantum dots and tetraphenylporphyrin in organic medium DOI: 10.1016/j.cplett.2020.138303

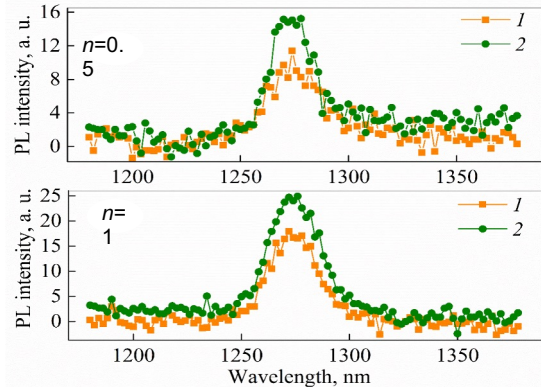
Chlorin e6– CdSe/ZnS Quantum Dots Nanocomposites as Efficient Singlet Oxygen Generator

DOI: 10.1134/S0030400X19120233

FRET efficiency up to 99%

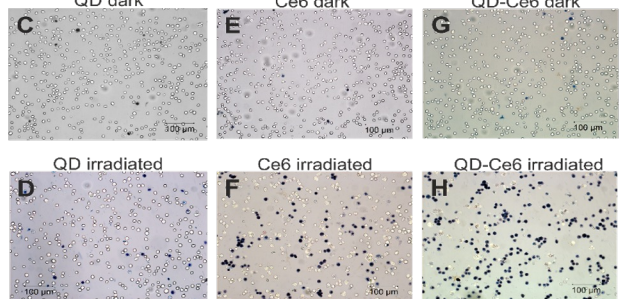


SO Luminescence

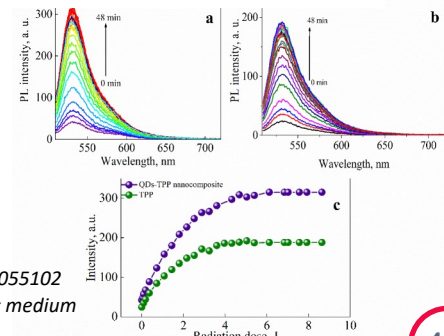


PDT effect on ACE cells

Transmitted light microscopy images of trypan blue stained EAC cells incubated with QDs (c, d), Ce6 (e, f) or QD-Ce6 (g, h) with and without laser irradiation



SO generation



Chlorin e6-ZnSe/ZnS quantum dots based system as reagent for photodynamic therapy DOI: 10.1088/0957-4484/26/5/055102
 Singlet oxygen generation by hybrid structures based on CdSe/ZnS quantum dots and tetraphenylporphyrin in organic medium DOI:10.1016/j.cplett.2020.138303
 Investigation of complexes of CdTe quantum dots with the AlOH-sulphophthalocyanine molecules in aqueous media 10.1021/jp408802u
 Chitosan hybrid structures with CdSe/ZnS quantum dots and Porphyrin DOI: 10.1039/D1RA08148A

Выводы



1. Квантовые нанокристаллы – класс наноструктурированных люминофоров, у которых может наблюдаться люминесценция, по своим свойствам схожая с люминесценцией атомов или многоатомных молекул.
2. Они обладают большим потенциалом в биомедицинских приложений в качестве меток, сенсорных систем и средств для терапии заболеваний



HYBRID NANOSTRUCTURES
FOR BIOMEDICINE

ITMO UNIVERSITY



Dr. Petr
Parfenov



Prof. Vladimir
Maslov



Dr. Viktor
Zakharov



Dr. Ali Abassi



Prof. Andrey
Veniaminov



Antonina
Dadadzhanova
PhD student



Lyubov' Borodina
PhD student



Ilia Vovk,
PhD student



Prof. Anna Orlova



Maxim Rider
PhD Student



Anastasia
Bulgakova,
Researcher



Dr.Rer.Nat. Aliaksei
Dubavik



Arina Efimova,
MS



Ekaterina Smirnova,
MS



Aleksei Boltenko,
MS



Konstantin
Baranov,
MS



Tatiana Oskolkova,
BS



Vera Ramazanova,
MS



Anna Pestereva,
BS



Mariia Kovova,
MS



Sergey Kabanov,
Researcher

ITMO



INTERNATIONAL RESEARCH
AND EDUCATION CENTRE FOR
PHYSICS OF NANOSTRUCTURES

Большое спасибо за
внимание!

ITMO *more than a*
UNIVERSITY

a.o.orlova@itmo.ru